

(207) サイジングミル幅圧下による介在物変形挙動

新日鐵 大分製鐵所 ○田中重典 三隅秀幸 米園史郎

玉ノ井光昭 Ph.D 溝口庄三 中村良昭

1. 緒言 大分製鐵所では、製鋼-圧延直結化プロセスが稼動をはじめた。¹⁾この特徴は、製鋼-圧延間に鋸片幅調整機能をもたせた、サイジングミル(S.M.)が設置されていることである。このS.M.での大幅圧下により、鋸片内部の介在物が強い変形をうけることが予想され、それによる製品への効果が期待された。そこで、この介在物の変形挙動について実際のS.M.ラインの実験を行なった。

2. 実験方法 幅一定で鋸造した鋸片をTable 1に示すように、幅圧下した。鋼種はAl-Si-K鋼とRiband鋼である。幅圧下前後の鋸片および熱延鋼板について改良スライム法²⁾により介在物抽出を行なった。また、鋸片断面の介在物を顕微鏡で調査した後、同断面をピクリン酸系エッティング液で腐食し、圧延によるメタルフローと介在物の伸延方向を調査した。鋼板および成品電縫管のUST調査も行なった。

3. 実験結果 (1)幅圧下後鋸片の介在物をPhoto. 1に示す。Riband鋼のMnO-SiO₂系介在物は圧下前には球形であるが圧下後は偏平になる。また、CaO-SiO₂-Al₂O₃系介在物は伸延されかつ内部が細かく壊れる。一方、Al-Si-K鋼の主たる介在物Al₂O₃クラスターは粉碎する。(2)幅圧下比と介在物変形比の関係をFig. 1に示す。圧下率と共に介在物の変形量は大きくなり、特にエッジ部は、幅中央部より大きい。(3)介在物は、鋸片のメタルフローに沿って変形する。特にコーナー部の介在物の変形量が最も大きい。(4)熱延板では介在物は、更に小さく壊れている。また、鋼板のUSTではエッヂ100mm部には欠陥が存在しない。(5)電縫管のUST不良率はサイジングしない場合の約1/3に減少している。

4. 考察 (1)介在物変形比と圧下比率の関係を検討するため、プラスティシンの模擬実験時の変形量³⁾を用い介在物変形量と対応させた。Fig. 1にあわせて示す。両者はほぼ一致しており、介在物は鋼とともに伸延している。また、模擬実験によると、エッジでは、幅圧下と水平圧下の2方向の圧下をうけている。エッヂの介在物変形量が大きいのはこの2軸圧下のためである。(2)介在物の形状変化は介在物の組成に依存する。球形のCaO-SiO₂-Al₂O₃系介在物は内部で壊れAl₂O₃クラスターは粉碎される。さらに熱延工程ではこれらの介在物は微細分散化すると考えられる。なお、S.M.での介在物微細化効果は変形量が最大となるエッジ部で最も有効にはたらく。この結果として電縫管のUST不良率が大幅に低減する。

5. 結言 S.M.における介在物変形挙動を調査した。幅圧下により介在物が変形あるいは粉碎される。その結果、製鋼圧延直結化プロセスの稼動に伴い電縫管のUST成績は安定して良好となった。

<参考文献> (1)藤沢ら:鉄と鋼67(1981)S947

(2)神尾ら:鉄と鋼67(1981)S409

(3)時田ら:鉄と鋼65(1979)S297

Table 1. Samples

Steel Grade	Al-Si-K.	Riband
Slab size as cast	280×1800	280×1900
Slab size after Sizing (Recluation ratio)	220×1600 (11%) 220×1500 (28%) 200×1300 (38%) 220×870 (52%)	250×850 (55%)

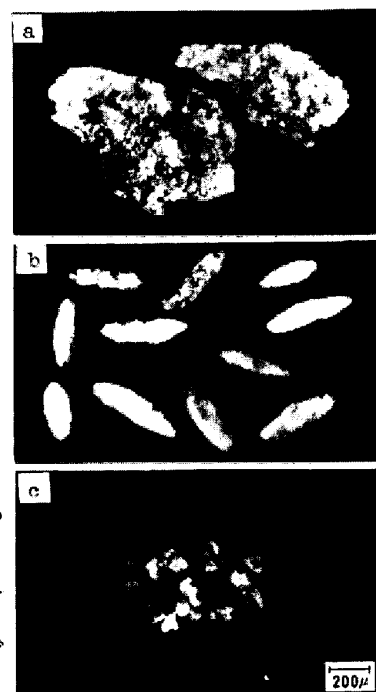


Photo. 1 Slime inclusion
(reduction ratio = 50%, Slab edge)
(a) CaO-SiO₂-Al₂O₃ inclusion
(b) MnO-SiO₂ inclusion (C) Al₂O₃ cluster

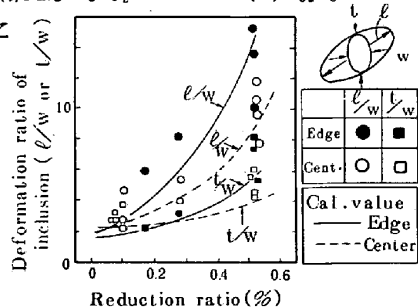


Fig. 1 Deformation of inclusions by reduction in slab width